

*بررسی اثرات لایه میانی در محصورشدگی ستون‌های بتن آرمه تقویت‌شده با ورقه‌های CFRP

حمید کریمی‌زاده^(۱)محمد رضا افتخار^(۲)

چکیده امروزه استفاده از مواد کامپوزیتی پلیمری (FRP) به عنوان یک ماده تقویتی برای تعمیر و تقویت اجزای مهم سازه‌های بتن آرمه به خصوص ستون‌ها، رواج گسترده‌ای پیدا کرده است. در این تحقیق با انجام آزمایش بارگذاری محوری، تأثیر لایه میانی بر بهبود رفتار محصورشدگی ستون‌های بتن آرمه بررسی شده است. برای این هدف، ۱۴ عدد ستون بتن آرمه به قطر ۱۵۰ و ارتفاع ۵۰۰ میلی‌متر و به روش‌های مختلف توسط یک یا دو لایه ورق FRP تقویت شده و تحت بار فشاری محوری قرار گرفته است. در این رابطه تأثیر محصورشدگی با نوارهای منقطع CFRP در حالت سنتی (بدون استفاده از لایه میانی) و با استفاده از شیوه نوین بررسی شده در تحقیق حاضر، با یکدیگر و با نتایج بارگذاری ستون‌های با تسلیح داخلی و بدون تقویت خارجی (به عنوان نمونه شاهد) مقایسه شده است. روش جدید شامل استفاده از یک لایه ورق نازک گالوانیزه به ضخامت ۰/۱۳ میلی‌متر می‌باشد که با نصب این ورق در زیر نوار FRP از انتقال تمکر تنفس ناشی از ترک خوردگی بتن به ورق FRP ممانعت می‌شود. وجود لایه میانی ضمن کاهش انتقال تنفس‌های دوممحوره به ورق FRP، باعث افزایش قابل توجه مقاومت و شکل‌پذیری نمونه‌های تقویت شده با لایه میانی نسبت به نمونه‌های تقویت شده در حالت سنتی می‌شود.

واژه‌های کلیدی ستون بتن آرمه، لایه میانی، محصورشدگی، کامپوزیت CFRP، مقاومت فشاری، شکل‌پذیری.

Intermediate Layer Effects in Performance of FRP-Confining RC Columns

H. Karimizadeh

M. R. Eftekhari

Abstract The use of polymer composite (FRP) as a reinforcement material for the repair and strengthening of important components of reinforced concrete structures, particularly columns, has found wide spread. In this study, the effect of intermediate layer on improving the confinement behavior of reinforced concrete columns has been investigated. To achieve the objectives of the study, 14 cylindrical reinforced concrete specimens with 150 mm diameter and 500 mm height were tested under pure axial load. The columns have been classified into four groups and were reinforced by one or two layers of carbon fibers and then to investigate the research topic, confinement with intermittent CFRP strips was performed in both traditional (Without intermediate layer) and modern method examined in the present study and the results were compared together and with the results of loading columns with internal reinforcement and without external reinforcement (the control sample). The new method involves using a thin layer of galvanized sheet (thickness 0.13 mm) which is mounted under the FRP sheet to prevent the transmission of stress concentration induced cracking concrete to FRP Sheets. The middle layer reduces the transfer of biaxial stress to FRP sheet too. The results suggest that specimens reinforced with FRP and galvanized sheets have higher strength and ductility than specimens reinforced with FRP and without Galvanized.

Key Words RC column, Intermediate layer, Confinement, CFRP Composite ,Compressive Strength, Ductility.

★ تاریخ دریافت مقاله ۹۳/۲/۲۵ و تاریخ پذیرش آن ۹۴/۲/۳۰ می‌باشد.

(۱) فارغ التحصیل کارشناسی ارشد، دانشکده مهندسی عمران، دانشگاه صنعتی اصفهان. a.karimizadeh@cv.iut.ac.ir

(۲) استادیار، دانشکده مهندسی عمران، دانشگاه صنعتی اصفهان.

مروری بر مطالعات گذشته بر روی ستون‌های

محصور شده با کامپوزیت‌ها

مطالعات زیادی پیرامون رفتار ستون‌های بتون آرمه محصور شده با ژاکت‌های FRP انجام گرفته است. الیاف در ستون‌های محصور شده با FRP به این نتیجه رسیدند که شکست ستون در همه آرایش‌ها با پارگی FRP از ناحیه یک سوم میانی همراه بوده است درحالی که ناحیه پارگی FRP در ستون‌های با نوارهای ۴۵ درجه در ناحیه وسیع تری نسبت به نوارهای ۹۰ درجه، نسبت به محور ستون، حادث می‌شود. این تحقیق نشان داد که الیاف با جهت عمود بر محور ستون بیشترین تأثیر را در افزایش مقاومت دارد اما الیاف با زاویه ۴۵ درجه نسبت به محور ستون، بهدلیل پخش یکنواخت‌تر انرژی، با افزایش شکل‌پذیری بیشتری همراه است [4]. شلال و همکاران در سال ۲۰۰۳ با بررسی ستون‌های کوتاه مربعی و مستطیلی که تحت بار محوری قرار گرفته بودند به بررسی اثر مقاومت مشخصه بتون، نسبت طول به عرض مقطع ستون و تعداد لایه‌های CFRP در محصورشدنگی پرداختند. آن‌ها نشان دادند که محصورشدنگی در هر دو مقطع باعث افزایش مقاومت فشاری و شکل‌پذیری می‌شود، ولی میزان افزایش مقاومت و شکل‌پذیری در این مقاطع کمتر از ستون‌های دایروی است. آن‌ها هم‌چنین نشان دادند که افزایش تعداد لایه‌ها باعث افزایش کارایی (مقاومت فشاری و شکل‌پذیری) می‌شود و میزان کارایی در بتون‌های با مقاومت کمتر، بیشتر از بتون‌های با مقاومت معمولی و یا بتون‌های با مقاومت زیاد است؛ به طوری که در مقاومت‌های کمتر، محصورشدنگی باعث افزایش تقریباً ۹۰ درصدی ظرفیت باربری می‌شود، درحالی که در مقاومت‌های بالاتر این میزان تقریباً ۳۰ درصد است [5]. تریالت و همکاران در سال ۲۰۰۴ به منظور بررسی اثر اندازه و نسبت طول به قطر بر میزان تأثیر محصورشدنگی، ستون‌های بتونی با قطرها و نسبت‌های

مقدمه

وقوع زمین‌لرزه‌های پی در پی در چند دهه اخیر باعث پیشرفت‌های زیادی در علوم مهندسی به خصوص مهندسی عمران شده است. از جمله این پیشرفت‌ها می‌توان به تدوین آین نامه‌های قابل اعتمادتر برای طراحی ساختمان‌های بتونی، فولادی و ساختمان‌های با مصالح بنایی اشاره کرد. اما با گذشت زمان و سپری شدن عمر مصالح، تغییر در آین نامه‌ها، وقوع حوادث غیرمتربقه، بروز عوامل مخرب طبیعی و هم‌چنین تغییر کاربری ساختمان، سازه‌ها دچار تخرب و نقص می‌شوند. بروز این نقايسص، زمينه را برای انجام تحقیقات در مورد تقویت سازه‌ها فراهم می‌کند. از مهم ترین راه‌کارهایی که پژوهشگران در چند دهه اخیر برای تقویت ساختمان‌های بتونی پیشنهاد کرده‌اند محصورسازی اعضای ساختمان است. ستون‌ها از مهم‌ترین اجزای ساختمان می‌باشند که تاکنون مطالعات گسترده‌ای در مورد محصورشدنگی آنها انجام شده است. پژوهشگران برای دورگیری ستون‌ها از ژاکت‌های فولادی، بتونی و کامپوزیتی استفاده کرده‌اند. امروزه ژاکت‌های فولادی بهدلیل امکان خوردگی و صعبیت در اتصال کامل به وجوده ستون مورد تقویت و ژاکت‌های بتونی نیز بهدلیل زمان زیاد اجراء، افزایش ابعاد ستون، افزایش بار مرده وارد بر ساختمان و تغییر در معماری سازه کمتر مورد توجه قرار گرفته و عدمتاً جای خود را به ژاکت‌های کامپوزیتی داده‌اند [1,2]. از مهم‌ترین مزایای ژاکت‌های کامپوزیتی می‌توان به دوام بسیار زیاد در مقابل عوامل مخرب محیطی، مقاومت کششی زیاد، وزن کم، اجرای ساده و تجهیزات ارزان نصب اشاره کرد [2]. هم‌چنین کامپوزیت‌های FRP ضخامت بسیار کمی دارند و استفاده از آن به منظور تقویت سازه‌ها هیچ تغییری در ابعاد و شکل ظاهری سازه ایجاد نمی‌کند. علاوه بر این، با توجه به ابعاد عضو مورد تقویت، FRP در هر اندازه، شکل و ابعاد قابل اجرا است [3].

مانند پراکنده‌گی نتایج به دست آمده برای کرنش گسیختگی ژاکت، متفاوت بودن روش آزمایش برای نمونه‌های تخت و کامپوزیت استفاده شده در ستون، تغییرات ناهمگن در بتون در حین بارگذاری، وجود گوشه‌های تیز در ستون‌های چهارگوش، وجود خلل و فرج در ستون و نقص در کامپوزیت و همین‌طور عبور ژاکت از روی ترک و نهایتاً معکوس بودن کرنش گسیختگی ژاکت با ضخامت آن اشاره کردند [19-22]. ینگ و همکاران با افزایش شعاع گوشه در ستون‌های با مقطع مستطیل شکل، میزان تمرکز تنش وارد شده به کامپوزیت را به مقدار زیاد کاهش دادند و از این طریق کارایی FRP را به مقدار واقعی خود نزدیکتر کردند [10,11]. کمپیون در سال ۲۰۰۶ با استفاده از تکنیک تقویت موضعی در گوشه‌های ستون‌های با مقطع مربعی، به این نتیجه رسید که استفاده از تقویت موضعی در گوشه‌ها پیش از دورپیچی بالای-های محصور کننده FRP، تمرکز تنش در گوشه‌های مقطع را کاهش می‌دهد و مانع از پارگی زود هنگام کامپوزیت می‌شود [23]. مستوفی نژاد و ایلیا در سال ۲۰۱۳ با استفاده از دو تکنیک نوار گوشه-بست و نوار گوشه-دورپیچ در ستون‌های چهارگوش، به بررسی اثرات استفاده از این روش‌ها در کاهش تمرکز تنش وارد شده به کامپوزیت و افزایش کارایی آن پرداختند و نتیجه گرفتند استفاده از این روش‌ها باعث کاهش غیریکنواخت پخش تنش‌ها در مقاطع چهارگوش می‌شود و با ایجاد تنش‌های کششی بیشتر در کامپوزیت موجود در وجوده مقطع و استفاده بیشتر از عملکرد کششی کامپوزیت، مقدار ظرفیت استحصالی از FRP به میزان قابل ملاحظه‌ای افزایش می‌یابد [24]. در بسیاری از تحقیقاتی که در این مورد انجام گرفته است به تأثیر تنش‌های برشی که علاوه بر تنش حلقوی به ژاکت وارد می‌شود و همچنین تأثیر تمرکز تنش ناشی از ترک خوردنگی بتون به ورق FRP، به عنوان مهم‌ترین پارامترهای کاهنده کرنش در ژاکت اشاره شده

طول به قطر مختلف را بررسی کردند؛ نتایج نشان داد که اندازه نمونه در میزان محصور شدگی تأثیر ندارد و مدل‌های تجربی ارائه شده بر اساس نمونه‌های استوانه‌ای با ابعاد 150×300 میلی‌متر قابل اعتماد است؛ ولی در نمونه‌های خیلی کوچک، اثر اندازه قابل توجه است [6]. علاوه بر این تحقیقات دیگری نیز توسط ماتیوس و همکاران [7]، ال-سلوم [8]، هادی [9]، ینگ و همکاران [10,11] انجام گرفته که همگی بیانگر افزایش مقاومت و شکل‌پذیری در ستون‌های بتنی محصور شده با کامپوزیت‌های FRP است. على‌رغم وجود تحقیقات فراوان در مورد میزان افزایش شکل‌پذیری و مقاومت ستون‌های بتنی محصور شده با کامپوزیت‌های FRP، بعضی از مطالعات آزمایشگاهی نشان می‌دهند که کرنش گسیختگی E_{ff} که از آزمایش‌های استاندارد تعیین کرنش در نمونه‌های تخت به دست می‌آید، در عمل دست‌نیافتنی است و کرنش گسیختگی صفحات تقویتی دورپیچ در هنگام زوال ستون کمتر از مقدار فوق می‌باشد. بنابراین بخش اعظمی از ظرفیت کششی کامپوزیت بدون استفاده می‌ماند [12]. زیائو و وو [13] لام و تنگ [14] در کل و لارنریس [15,16] و پسیکی و همکاران [17] در توضیح عدم امکان دسترسی به کرنش نهایی مواد کامپوزیتی به مواردی از قبیل کیفیت بهتر نمونه‌های تخت ورق FRP نسبت به نمونه‌های منحنی شکل، تنش‌های چندمحوره وارد به ژاکت‌های دایروی، تمرکز تنش ناشی از ترک‌های ایجاد شده در بتون، اثر ناحیه همپوشانی، تقاضه هنگام نصب و اثرات انقباض، جمع-شدگی و خوش بتن اشاره کردند. همچنین شهادی و همکاران با اشاره به بعضی از عوامل فوق به عنوان عوامل کاهنده کرنش نهایی، از امکان تأثیر عدم تعامد دو سطح فوقانی و تحتانی نمونه بر محور طولی ستون که باعث ایجاد خروج از مرکزیت و تمرکز تنش در ژاکت می‌شود به عنوان عامل دیگر کاهش کرنش یاد کردند [18]. علاوه بر عوامل فوق، محققان به عواملی

سال ۱۹۹۸ با بررسی ستون‌های بتنی با مقاطع مربعی و دایروی که با دو روش، یکی با اتصال ورقه‌های FRP به

سطح بتن و دیگری با استفاده از لوله‌های FRP که به عنوان قالب برای بتن‌ریزی استفاده می‌شوند، به بررسی اثرات پیوستگی در ستون‌های بتنی پرداخته‌اند. در برخی از انواع لوله‌های FRP استفاده شده در تحقیق فوق، از زائدۀ‌های مکانیکی نیز برای درگیری بیشتر بتن و مصالح کامپوزیتی استفاده شده است. نتایج این مطالعه نشان می‌دهد که هرچند رفتار ستون‌های بدون پیوستگی، ضعیفتر از رفتار ستون‌هایی است که اتصال ورق FRP به آن‌ها از طریق زائدۀ‌های مکانیکی فراهم می‌شود، اما رفتار این نمونه‌ها با رفتار ستون‌هایی که در آن‌ها اتصال ورق تقویتی از طریق چسبندگی شیمیایی با سطح بتن صورت می‌گیرد تفاوت قابل ملاحظه‌ای نمی‌کند [25].

شهابی و همکاران در سال ۲۰۰۰ با آزمایش روی استوانه‌های بتنی محصورشده با CFRP، و مقایسه نتایج آن‌ها با مدل ارائه شده توسط سامان [1]، که برای بتن محصورشده در لوله‌های GFRP ارائه شده بود، به این نتیجه رسیدند که اولاً پیوستگی بین FRP و بتن تأثیر زیادی در رفتار محصورشدن ندارد، ثانیاً می‌توان از مدل‌های مشابه‌ای برای بتن محصورشده با الیاف شیشه و الیاف کربن استفاده کرد [18].

هریس و کاری در سال ۲۰۰۳ نمونه‌های استوانه‌ای که توسط الیاف شیشه و به دو صورت پیوسته و غیرپیوسته تهیه شده بودند را تحت بار محوری فشاری قرار دادند. آن‌ها برای ایجاد ناپیوستگی در نمونه‌ها، از دولایه پلاستیک نازک به ضخامت ۰/۰۸ میلی‌متر در زیر ورق FRP استفاده کردند. این محققان نتیجه گرفتند که ناپیوستگی بین بتن و ژاکت تأثیر زیادی بر محصورشدنگی ستون ندارد. نتایج این تحقیق نشان داد که اندک کاهشی در مقاومت فشاری نمونه‌های غیرپیوسته نسبت به نمونه‌های پیوسته وجود

است.

بررسی موضوع و هدف تحقیق

در تحقیق حاضر به منظور افزایش ظرفیت باربری و بهبود رفتار شکل پذیری ستون‌های استوانه‌ای و همچنین استفاده بهینه از ظرفیت کششی FRP سعی شده است که با جای‌گذاری یک لایه میانی در حد فاصل سطح بتن و ورق FRP تا حد امکان از انتقال تمرکز تنش ناشی از ترک خوردنگی بتن به ورق تقویتی جلوگیری شود. ماده استفاده شده به عنوان لایه میانی، یک لایه ورق گالوانیزه است که در اندازه‌های تقریباً مشابه با ورق تقویتی بریده شده و در زیر ورق تقویتی قرار می‌گیرد. وجود لایه میانی باعث می‌شود که ترک‌های ناشی از شکست بتن به جای انتقال مستقیم به ژاکت FRP، توسط لایه اضافی میانی جذب شود. همچنین لایه میانی مانع چسبندگی ژاکت به بتن شده که این باعث کاهش انتقال نیروی برشی از بتن به ژاکت (که باعث ایجاد تنش دومحروره در ژاکت و کاهش کارایی آن نسبت به نمونه تخت می‌شود) خواهد شد. برای اطمینان از عدم نقش محصورسازی ورق گالوانیزه، طول این ورقه اضافی نسبت به محیط ستون در حد یک یا دو میلی‌متر کوتاه‌تر انتخاب شده است تا هیچ‌گونه همپوشانی در ورق گالوانیزه ایجاد نشود. لازم به ذکر است که در روش استفاده شده در تحقیق حاضر، وجود لایه میانی، پیوستگی صفحات تقویتی و سطح بتن را به حداقل می‌رساند در حالی که در روش‌های سنتی اتصال ورقه‌های تقویتی به سطح بتن، نظیر روش لایه‌ای مرطوب (Wet Layup)، پیوستگی فیزیکی کامل بین سطوح درگیر به‌واسطه رزین‌های اپوکسی صورت می‌گیرد. تحقیقات کمی در خصوص بررسی اثرات پیوستگی بین سطوح درگیر در تقویت ستون‌های محصورشده توسط ورقه‌های تقویتی انجام گرفته است. در این خصوص میرمیران و همکاران در

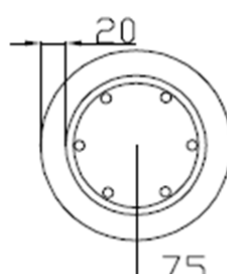
۵۰۰ میلی‌متر ساخته شد و مورد آزمایش قرار گرفت. برای تسلیح داخلی ستون‌ها از ۶ عدد آرماتور طولی آجدار به قطر ۸ میلی‌متر ($p=1/7\%$) و ۶ عدد خاموت ساده به قطر ۶ میلی‌متر با فواصل ۸۵ میلی‌متری در طول ستون استفاده شده است (شکل ۱). نمونه‌ها پس از گذشت یک روز از بتون‌ریزی از قالب خارج شده و به مدت ۲۸ روز در آب و در دمای آزمایشگاه عمل‌آوری شده‌اند. پس از دوره‌ی عمل‌آوری، زوائد احتمالی ناشی از نفوذ شیره بتن در درزهای قالب از سطح نمونه توسط سنگ فرز و سمباده برداشته می‌شود و گرد و خاک موجود در خلل و فرج نمونه‌ها توسط دستگاه کمپرسور هوا برداشته می‌شود. سپس محدوده قرارگیری نوارهای CFRP بر روی ارتفاع نمونه‌ها علامت‌گذاری می‌شود و در انتهایها به منظور جلوگیری از اعمال بارهای خارج از مرکز، سطوح انتهایی نمونه‌ها کلاهک‌گذاری (Capping) می‌شوند.

دارد که دلیل این کاهش مقاومت در فعال شدن دیرهنگام ورق FRP به دلیل وجود فضای خالی بین ژاکت و بتون عنوان شده است. در این تحقیق فعال شدن ورق FRP تقریباً در ۸۵ درصد بار حداقل گزارش شده است [22].

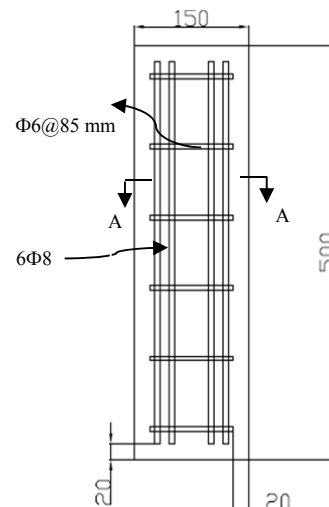
با توجه به مطالعات هریس و کاری [22] و از آن‌جا که در روش پیشنهادی حاضر، ممکن است مقدار بسیار کمی فاصله آزاد بین ورق میانی و بتون به وجود آید که در مراحل اولیه اتساع، مانع افزایش شدن ورق تقویتی شود، سعی شده است که از بتونه به عنوان پرکننده این فاصله‌های آزاد استفاده شود. در واقع از بتونه به عنوان یک ماده کمکی که اتساع جانی را به ورق میانی منتقل می‌کند و مانع اتساع کاذب ستون می‌شود استفاده شده است.

برنامه آزمایشی

آماده سازی نمونه‌ها. در این تحقیق تعداد ۱۴ عدد ستون بتون‌آرمه با مقطع دایره‌ای به قطر ۱۵۰ و ارتفاع



Section A-A (ب)



الف) جزئیات ستون در ارتفاع

شکل ۱) جزئیات آرماتور‌گذاری نمونه‌ها (ابعاد به میلی‌متر)

به دست آمده است، آورده شده است.

جدول ۱ میزان مصالح مصرفی در طرح اختلاط

نوع مصالح	آب	سیمان	ماسه	شن
میزان مصرف (kg/m ³)	۱۹۵	۳۷۵	۱۰۲۷	۷۲۱

جدول ۲ مشخصات میلگردهای مصرفی

نوع میلگرد	تنش تسلیم (MPa)	تنش نهایی (MPa)
۶ شماره	۳۵۴	۳۹۸
۸ شماره	۵۵۰	۷۷۴

برای تقویت خارجی نمونه‌ها نیز از الیاف کربن با نام تجاری Sika Wrap Hex 230C مطابق جدول (۳) استفاده شده است. هم‌چنین رزین مورد استفاده Sika Dur-330 می‌باشد که مشخصات مکانیکی آن در جدول شماره (۴) آورده شده است.

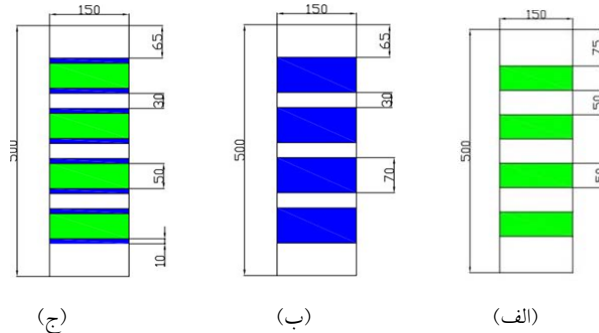
مشخصات مصالح. نمونه‌های مورد آزمایش بر حسب روش و نحوه تقویت در چهار گروه دسته‌بندی شده‌اند. مقاومت مشخصه ستون‌های مورد آزمایش برای هر گروه، از میانگین مقاومت نهایی چهار عدد نمونه استوانه‌ای استاندارد به قطر ۱۵۰ و ارتفاع ۳۰۰ میلی‌متر که اختلاط آن‌ها براساس مقاومت مشخصه مگاپاسکال طرح شده بود به دست آمده است. سیمان مصرفی در طرح اختلاط از نوع سیمان پرتلند تیپ ۱ و حداقل اندازه سنگدانه مصرفی ۱۲ میلی‌متر می‌باشد. از آنجایی که ستون‌ها دو تا چهار ماه بعد از ساخت آزمایش شده‌اند مقاومت فشاری آن‌ها در زمان آزمایش بین ۳۰ تا ۳۵ مگاپاسکال متغیر است. مقادیر و اجزای مشتملۀ طرح اختلاط برای یک مترمکعب بتن و مشخصات مکانیکی میلگردهای مصرفی به ترتیب در جداول (۱) و (۲) آورده شده است. در جدول (۲) مقادیر تنش تسلیم و تنش نهایی میلگردهای مصرفی که با انجام آزمایش کشش مستقیم بر روی میلگردها

جدول ۳ مشخصات مکانیکی ورق FRP

نوع ورق	کرنش نهایی ورق (%)	ضخامت ورق (mm)	مقاومت کششی نهایی (MPa)	مدول الاستیسیته کششی (GPa)	مدول خشمی
Sika Wrap Hex-230C	۱/۷	۰/۱۲	۴۱۰۰	۲۳۱	۳۸۰۰

جدول ۴ مشخصات مکانیکی رزین

نوع رزین	مقادیت کشش (MPa)	مدول کششی (MPa)	مدول خشمی (MPa)	کرنش نهایی (%)
Sika Dur-330	۳۰	۴۵۰۰	۳۸۰۰	۱/۵



شکل ۲ (الف) نمونه‌های بدون لایه میانی با عرض ۵۰ میلی‌متر (بعد از میلی‌متر)، (ب) نمونه با لایه میانی، مرحله نصب ورق گالوانیزه، (ج) نمونه با لایه میانی؛ مرحله نصب FRP

نزدیک صفحه بارگذاری، از دو حلقه فلزی به قطر داخلی ۱۵۰، ارتفاع ۵۰ و ضخامت ۵ میلی‌متر استفاده شده است. برای پرکردن فضای زیر این حلقه فلزی نیز از گچ دندانپزشکی استفاده شده است.

نام‌گذاری نمونه‌ها. نمونه‌های مورد مطالعه در این تحقیق مطابق جدول (۵) در چهار گروه طبقه بندي شده‌اند. در هر گروه نمونه‌های بدون تقویت خارجی، به عنوان نمونه شاهد، با نام C4 تا C1، نشان داده شده است. در این جدول اعداد ۲۵ و ۵۰ بیانگر عرض نوارهای تقویتی به میلی‌متر، حرف S در صورت وجود در نام نمونه نشان‌دهنده وجود لایه میانی از جنس ورق گالوانیزه، حرف P در صورت وجود نشان دهنده استفاده از بتونه به عنوان ماده پرکننده در زیر ورق گالوانیزه و حرف W نیز تقویت نمونه را به صورت دورپیچ کامل در تمام ارتفاع نشان می‌دهد. هم‌چنان در I و II در انتهای نام نمونه‌ها معرف تعداد لایه‌های ورق تقویتی است.

روش بارگذاری و ثبت نتایج. نمونه‌ها توسط دستگاه پرس هیدرولیکی با ظرفیت ۲۰۰۰ کیلو نیوتن و به روش کنترل جابه‌جایی (Displacement Control) با سرعت بارگذاری یک میلی‌متر بر دقیقه تحت بار محوری فشاری قرار گرفته و بارگذاری نمونه‌ها پس از حصول حداقل باربری تا رسیدن به ۵۰ درصد بار حداقل در شاخه نزولی، ادامه پیدا کرده است. نتایج مربوط به بار و تغییرمکان‌های طولی و عرضی نمونه در نقاط متناظر بارگذاری، توسط دستگاه دیتالاگر ثبت شده است. برای به‌دست آوردن تغییرمکان محوری از دو عدد جابه‌جایی سنج (LVDT) که در ناحیه ۲۴۰ میلی‌متری وسط و در طرفین نمونه نصب شده‌اند، استفاده شده است. برای محاسبه کرنش محوری از میانگین نتایج به‌دست آمده از این دو LVDT استفاده شده است.

نحوه تقویت با استفاده از ورقه‌های FRP همه ورقه‌های تقویتی به صورت نوارهایی به طول ۵۷۰ میلی‌متر و در دو عرض ۲۵ و ۵۰ میلی‌متر تهیه شده‌اند. برای اتصال ورق تقویتی بر بستر کار از روش لایه‌ای مرتبط (Wet-Layup) استفاده شده است. برای نمونه‌های بدون لایه میانی، مطابق معمول ابتدا سطح نمونه از زوائد احتمالی بتون زدوده می‌شود و گرد و غبار از خلل و فرج بتون برداشته می‌شود. سپس محل ورق تقویتی توسط چسب اپوکسی طوری پوشانده می‌شود که خلل و فرج آن کاملاً از چسب پر شوند؛ در مرحله بعد ورق FRP روی بتون چسبانده می‌شود و روی سطح ورق به منظور اشباع‌سازی کامل، مجدداً از چسب پوشش داده می‌شود. در نمونه‌های با لایه میانی، نیازی به آماده سازی سطحی نبوده و بعد از تسطیح زائد های احتمالی بتون در محل درز قالب، ورق گالوانیزه توسط دو سیم نازک در دو لبه بالا و پایین هر نوار (در فاصله ۱۰ میلی‌متری از لبه و طوری که ژاکت FRP بین آنها قرار گیرد) به بتون محکم بسته می‌شود. لازم به ذکر است که عرض ورق گالوانیزه در این نمونه‌ها نسبت به عرض ورق تقویتی از بالا و پایین ۱۰ میلی‌متر بیشتر انتخاب شده است. سپس با اشباع سطح ورق میانی توسط چسب اپوکسی ورق FRP به روش قبل روی ورق گالوانیزه به گونه‌ای نصب می‌شود که ناحیه همپوشانی FRP در محل اتصال لبه‌های ورق گالوانیزه قرار گیرد. در شکل (۲) جزئیات نمونه‌های با تسلیح خارجی نشان داده شده است. در نمونه‌هایی که از بتونه به منظور ماده‌ی پرکننده استفاده می‌شود ابتدا لایه‌ای از بتونه در محل نوارهای تقویتی بر سطح کار اجرا شده و سپس ورق گالوانیزه توسط سیم‌های نازک فولادی، قبل از سفت شدن بتونه، در موقعیت مورد نظر ثبیت می‌گردد. در همه نمونه‌های تقویت شده، ناحیه همپوشانی برای ورق FRP، تقریباً ۱۰۰ میلی‌متر در نظر گرفته شده است. در همه نمونه‌ها برای جلوگیری از تمرکز تنش در دو ناحیه انتهایی و

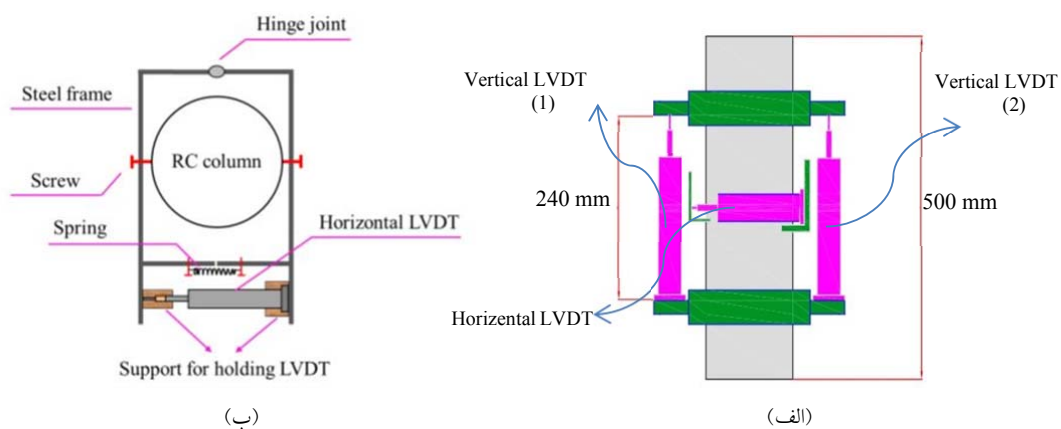
تجهیزات ثبت جابه‌جایی $0/005$ میلی‌متر و حداکثر تغییر مکان قابل اندازه‌گیری توسط آنها 25 میلی‌متر می‌باشد.

همچنین برای به دست آوردن کرنش عرضی نمونه‌ها از یک عدد LVDT افقی در وسط نمونه مطابق شکل (۳-ب) استفاده شده است. نحوه نصب LVDT‌ها در شکل (۳-الف) نشان داده شده است. دقیق اندازه‌گیری

جدول ۵ ویژگی ستون‌ها

شماره گروه	نام ستون	F'_{co} (MPa)	نوع FRP	تعداد لایه	تعداد ورق FRP	ابعاد ورق FRP	تعداد ورق گالوانیزه	ابعاد ورق گالوانیزه	بتنه
1	C1	38.30	-	0	0	-	0	-	-
	C1-50.I	38.30	CFRP	1	4	50*570 mm	0	-	-
	C1-S-50.I	38.30	CFRP	1	4	50*570 mm	4	70*570 mm	-
2	C2	35.26	-	0	0	-	0	-	-
	C2-50.I	35.26	CFRP	1	4	50*570 mm	0	-	-
	C2-S.P-50.I	35.26	CFRP	1	4	50*570 mm	4	70*570 mm	*
3	C3	36.05	-	0	0	-	0	-	-
	C3-50.II	36.05	CFRP	2	8	50*570 mm	0	-	-
	C3-S.P-50.II	36.05	CFRP	2	8	50*570 mm	4	70*570 mm	*
4	C4	33.62	-	0	0	-	0	-	-
	C4-W.I	33.62	CFRP	1	8	50*570 mm	0	-	-
	C4-S.P-50.I	33.62	CFRP	1	4	50*570 mm	4	70*570 mm	*
	C4-S.P-25.I	33.62	CFRP	1	8	25*570 mm	8	45*570 mm	
	C4-S.P-25.II	33.62	CFRP	2	16	25*570 mm	8	45*570 mm	

*استفاده از یک لایه پلاستیک به ضخامت $0/02$ میلی‌متر بین ورق گالوانیزه و ورق FRP



شکل ۳ (الف) تصویر شماتیک نحوه نصب LVDT‌ها (ب) نحوه نصب LVDT جانی

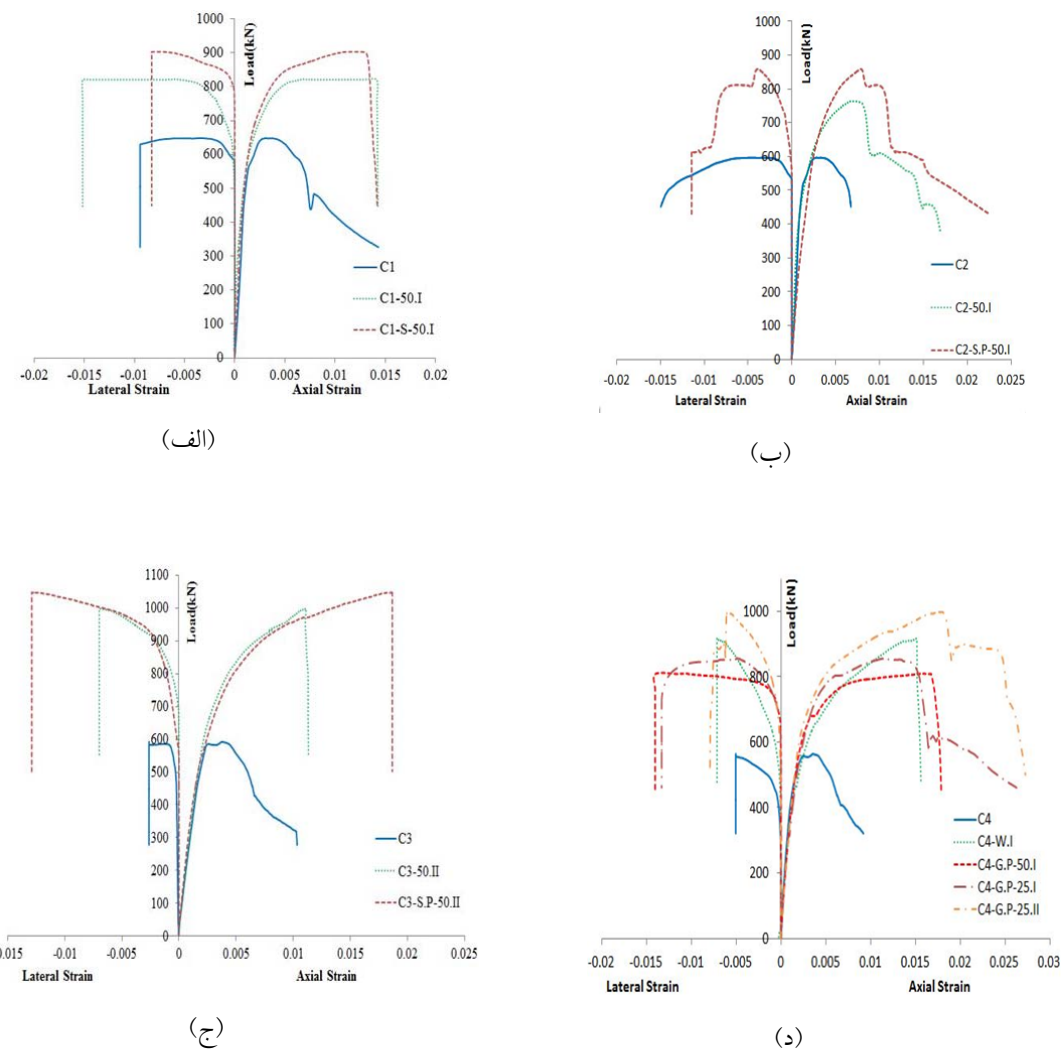
محور قائم منحنی‌ها ظرفیت باربری و محور افقی میزان کرنش ایجاد شده در ستون را نشان می‌دهد. محور افقی منحنی‌های بار - کرنش در نمونه‌های آزمایشی، نشان دهنده میزان کرنش محوری و کرنش جانبی ناشی از اتساع ستون‌های تحت بارگذاری است؛ به طوری که طرف مثبت محور افقی، کرنش محوری ستون و طرف منفی محور افقی کرنش جانبی ستون را نشان می‌دهد. مطابق شکل (۴)، رفتار بار-کرنش محوری نمونه‌های آزمایشی را می‌توان به دو گروه متمایز تقسیم کرد. برخی از نمونه‌ها (نظیر نمونه‌های بدون تقویت)، دارای شکست نرم هستند و پس از حصول حداکثر بار محوری، با افت ناگهانی بار مواجه نمی‌شوند. در این نمونه‌ها کاهش ظرفیت باربری در شاخه نزولی منحنی بار-کرنش به تدریج صورت می‌گیرد. در این نمونه‌ها، برای نقطه‌ی نهایی ظرفیت باربری، از نقطه‌ی معادل ۸۵٪ بار حداکثر استفاده شده است. در نمونه‌های دسته دوم که افت ناگهانی بار در آن‌ها حادث شده است، نقطه‌ی حداکثر باربری به عنوان نقطه نهایی ظرفیت باربری نمونه منظور شده است.

بحث و بررسی نتایج

نتایج مربوط به آزمایش فشاری روی نمونه‌ها در جدول (۶) نشان داده شده است؛ در این جدول نتایج مربوط به بار حداکثر (p_{max})، کرنش متناظر با بار حداکثر (E_{u0})، کرنش محوری نهایی (E_u) و سطح زیر منحنی بار-تغییرمکان (E_u)، که بیانگر انرژی جذب شده می‌باشد، آورده شده است. لازم به توضیح است که در بسیاری از مقالات [26,27]، از سطح زیر منحنی تنش کرنش که بیانگر میزان جذب انرژی توسط سیستم و یا به عبارتی مقدار کار انجام شده توسط نیروی خارجی روی سیستم می‌باشد، به عنوان معیاری برای شکل‌پذیری ستون‌ها استفاده شده است؛ در این تحقیق نیز از این موضوع به همراه میزان کرنش نهایی نمونه‌ها به عنوان دو معیار برای شکل‌پذیری ستون‌ها استفاده شده است. هم‌چنان برای بیان میزان کارایی روش‌های به کار رفته در این تحقیق، از مقادیر $\frac{E_u}{E_{u0}}$ و $\frac{p_{max}}{p_{max0}}$ که به ترتیب بار حداکثر و انرژی جذب شده هر نمونه نسبت به بار حداکثر و انرژی جذب شده نمونه شاهد گروه خود می‌باشد، استفاده شده است. منحنی‌های بار-کرنش گروه‌های ۱ تا ۴ نیز در شکل (۴) آورده شده است. در شکل (۴)

جدول ۶ نتایج بدست آمده از آزمایش نمونه‌ها

شماره گروه	نام ستون	p_{max} (kN)	ε_{c0}	ε_{ce}	E_u (N.m)	$\frac{p_{max}}{p_{max0}}$	$\frac{E_u}{E_{u0}}$
1	C1	648.27	0.00319	0.00695	865	1	1
	C1-50.I	821.74	0.00689	0.00775	1222	1.27	1.41
	C1-S-50.I	902.38	0.01084	0.01084	1904	1.39	2.20
2	C2	596.77	0.00315	0.00640	733	1	1
	C2-50.I	763.17	0.00738	0.00828	1203	1.28	1.64
	C2-S.P-50.I	858.18	0.00780	0.01030	1592	1.44	2.17
3	C3	592.22	0.00382	0.00597	644	1	1
	C3-50.II	997.70	0.01107	0.01113	1904	1.68	2.96
	C3-S.P-50.II	1047.20	0.01866	0.01868	3362	1.77	5.22
4	C4	564.02	0.00358	0.00579	622	1	1
	C4-W.I	917.76	0.01513	0.01514	2502	1.63	4.07
	C4*-S.P-50.I	810.44	0.01593	0.01677	2718	1.44	4.37
	C4-S.P-25.I	856.74	0.01179	0.01352	2221	1.52	3.57
	C4-S.P-25.II	998.17	0.01766	0.01813	3403	1.77	5.47



نمودار بار-کرنش جانبی نمونه I LVDT به دلیل از کار افتادن

شکل ۴ منحنی‌های بار کرنش؛ (الف) گروه اول؛ (ب) گروه دوم؛ (ج) گروه سوم؛ (د) گروه چهارم

که در نمونه بدون لایه میانی، پوسته بتنی همراه با FRP به فرم یک گوه از نمونه خارج می‌شود (شکل ۵-ب). در نمونه همراه با لایه میانی (شکل ۵-ج) ابتدا ریزترک‌هایی در بتن و در ناحیه میانی ایجاد می‌گردد. با اتساع بیشتر ستون، فشار وارد به ورق گالوانیزه نیز بیشتر می‌شود؛ ورق گالوانیزه ضمن جلوگیری از انتقال این ترک‌ها به ورق FRP قادر است رشد بیشتری از ترک را بدون آسیب به فرم ظاهری خود تحمل کند و در نهایت به دلیل اتساع بیش از حد ستون و بازشدگی

مود شکست و رفتار منحنی‌های بار-کرنش نمونه‌ها. به منظور بررسی و مقایسه مود گسیختگی نمونه‌ها، تصویر شکست نمونه‌های گروه اول در شکل (۵) نشان داده شده است. در نمونه شاهد مطابق شکل (۵-الف) با افزایش بارگذاری، ابتدا ترک‌های موازی با محور نمونه در آن ایجاد می‌شود، سپس با کمانش آرماتورها، پوسته بتنی کنده می‌شود و به بیرون پرتاپ می‌شود. برای نمونه‌های تقویت شده، عمدتاً شکست ستون با پارگی FRP در ناحیه یک‌سوم میانی حادث شده است؛ طوری

تقویتی بدلیل اتساع کم ستون است. با توجه به شکل (۴-الف) منحنی مربوط به نمونه C1-50.I (نمونه تقویت شده به روش سنتی) بعد از رسیدن به بار حداکثر به صورت کاملاً افقی، که نشانگر حالت پلاستیک می‌باشد، ادامه پیدا کرده و درنهایت با افت شدید بار که در نقطه نهایی اتفاق افتاده، به زوال رسیده است. درواقع حالت پلاستیک که در ستون و با این میزان کامپوزیت مصرفی به دست آمده است، بیانگر محصور شدنگی مؤثر و کافی نمونه می‌باشد. با توجه به این شکل، منحنی مربوط به ستون C1-S-50.I (تقویت شده با لایه میانی) به صورت یک منحنی دو قسمتی می‌باشد که هر دو قسمت آن صعودی است. در حقیقت بعد از رسیدن بار به مقدار بار متناظر با کرنش شکست نمونه محصور نشده، منحنی با یک ناحیه انتقال وارد ناحیه‌ی صعودی اما با شیب کمتر شده و درنهایت با افت شدید بار در نقطه حداکثر بار، که معادل با نقطه نهایی نیز می‌باشد، مواجه می‌شود. با مقایسه این منحنی با منحنی مربوط به نمونه I C1-50.I می‌توان نتیجه گرفت که ورق گالوانیزه با ممانعت از انتقال تمرکز تنش و تنش‌های چند محوره به FRP باعث شده است که منحنی بار-کرنش محوری از حالت الاستوپلاستیک به حالت کرنش-سختی که نشانگر محصور شدنگی مؤثرتری است، میل پیدا کند. لازم به ذکر است که اگر مقطع ستون به اندازه کافی تحت فشار محصور شدنگی قرار گیرد، منحنی تنش-کرنش بتن به صورت دوخطی و همراه با دو شاخه صعودی است؛ به این رفتار کرنش-سختی اطلاق می‌شود. در این نوع رفتار، مقاومت فشاری حداکثر و کرنش حداکثر در یک نقطه اتفاق می‌افتد و تنش حداکثر و تنش نهایی برابر است. اگر میزان محصور شدنگی به اندازه کافی مؤثر نباشد، منحنی تنش-کرنش بعد از نقطه اوج با شاخه نزولی همراه است که این رفتار به کرنش-نرمی معروف است.

برای نمونه‌های دولایه نیز همان‌گونه که از شکل (۴-ج) مشخص است منحنی بار-کرنش محوری

بیشتر ترک، شرایط پارگی ورق تقویتی FRP را فراهم نماید. لازم به ذکر است که اندازه بازشدنگی ترک‌ها در نمونه‌های با لایه میانی در لحظه رسیدن به بار حداکثر نسبت به نمونه شاهد و نمونه بدون لایه میانی بسیار بزرگ‌تر است که می‌تواند مؤید تحمل بار و تغییر مکان بیشتر این نمونه باشد؛ اما با این وجود به دلیل ممانعت لایه‌ی میانی، این ترک‌ها به ورق FRP منتقل نمی‌شوند. همان‌گونه که در شکل (۵-ج) نیز نشان داده شده است، بعد از پارگی ورق FRP، این ورق به طور کامل از ورق گالوانیزه جدا شده است. این مطلب نشانگر آن است که تقریباً هیچ‌گونه انتقال نیروی برشی از ورق FRP به ورق گالوانیزه که منجر به نقش باربری ورق گالوانیزه شود، صورت نمی‌گیرد. مود کلی گسیختگی نمونه‌های سایر گروه‌ها، صرف نظر از نوع آرایش، تقریباً مشابه نمونه‌های گروه اول می‌باشد.



شکل ۵ نحوه زوال و شکست نمونه‌ها، (الف) نمونه شاهد (ب) نمونه بدون لایه میانی (ج) نمونه با لایه میانی

برای تحلیل حالت رفتاری نمونه‌ها، منحنی بار-کرنش نمونه‌های گروه‌های اول تا چهارم در شکل (۴) نشان داده شده است. همان‌گونه که در شکل (۴) دیده می‌شود، قسمت اولیه همه منحنی‌ها (مربوط به هر گروه) بر هم منطبق است که این بیانگر سختی یکسان ستون‌ها در مراحل اولیه بارگذاری و غیرفعال بودن ورق

در مقاومت و شکل‌پذیری ستون‌ها، نمونه C4-W.I از گروه چهارم به صورت کامل توسط نوارهای FRP در یک لایه در تمام ارتفاع ستون دورپیچ شده است. چنان‌چه در جدول(۶) مشاهده می‌شود میزان افزایش جذب انرژی نسبت به نمونه شاهد در این نمونه، ۳۰٪ درصد ثبت شده است که نسبت به نمونه II (نمونه‌ی تعویت شده با نوارهای منقطع FRP با عرض و فاصله آزاد ۵۰ میلی‌متر) با همان مقدار مصرف FRP افزایش قابل توجهی را نشان می‌دهد.

در توضیح دلیل این موضوع می‌توان گفت که نمونه‌های با محصورشدنگی کامل در ارتفاع، به‌دلیل پخش یکنواخت‌تر انرژی در کل ارتفاع ستون، ظرفیت بیشتری برای جذب انرژی دارند. با این وجود با توجه به سهولتی که نصب نوارهای منقطع نسبت به نوارهای پیوسته دارد و هم‌چنین سهولت استفاده از لایه میانی در نوارهای منقطع نسبت به نوارهای پیوسته، به‌نظر می‌رسد در بسیاری از موارد، استفاده از نوارهای منقطع کارایی بیشتری نسبت به نوارهای پیوسته خواهد داشت.

(ج) تأثیر لایه میانی: مطابق نتایج به‌دست آمده در جدول (۶)، در نمونه‌هایی که در آن‌ها از ورق گالوانیزه به عنوان لایه میانی استفاده شده است، میزان بار و تغییر‌شکل نهایی و هم‌چنین میزان جذب انرژی نسبت به نمونه‌های بدون ورق گالوانیزه افزایش قابل توجهی را نشان می‌دهد. نمونه‌های گروه اول که برای ارزیابی میزان کارایی ورق گالوانیزه مورد استفاده قرار گرفت، بیانگر افزایش ۱۲ درصدی بار و ۷۹ درصدی جذب انرژی نسبت به نمونه بدون لایه میانی است. علاوه بر این از نظر کرنش نهایی نیز این نمونه افزایش قابل توجهی را نشان می‌دهد. به‌طور کلی در این تحقیق اثر ورق گالوانیزه به‌همراه بتونه بر میزان افزایش بار، بین ۹ تا ۱۶ درصد برای روش‌های تعویتی مختلف، به‌دست آمده است. از لحاظ میزان جذب انرژی نیز نمونه-

نمونه‌های محصورشده به‌دلیل میزان محصورشدنگی بیشتر، دارای شب و طول بیشتری نسبت به نمونه‌های زیرگروه یک است که بیانگر مقاومت و جذب انرژی بالاتر می‌باشد. برای بررسی اتساع جانبی نیز همان‌گونه که منحنی‌های بار-کرنش جانبی نشان می‌دهند، همه نمونه‌های تعویت شده در میزان اتساع بیشتری نسبت به نمونه شاهد به نقطه شکست خود رسیده‌اند.

تأثیر روش تعویت. در این تحقیق به‌منظور بررسی تأثیر لایه میانی در کارایی FRP، علاوه بر بررسی تأثیر فضای خالی بین سطح بتون و لایه میانی به بررسی اثر تعداد لایه‌های تعویتی، اثر عرض نوار و همین‌طور اثر تعویت به صورت دورپیچ کامل پرداخته شده است. در ادامه اثر هر کدام از این عوامل به صورت جداگانه بررسی شده است.

(الف) تأثیر تعداد لایه‌ها: با مقایسه ظرفیت باربری به‌دست آمده برای نمونه‌های تعویت شده با یک لایه و دو لایه ورق تعویتی (جدول ۶، مشاهده می‌شود که با دو برابر کردن لایه‌ها، میزان افزایش کارایی نیز بیش از دو برابر شده است. دلیل این موضوع را شاید بتوان در کارایی کمتر لایه اول (نسبت به سایر لایه‌ها) و مؤثرتر بودن عوامل کاهنده کرنش در لایه اول جست‌وجو کرد. لایه اول به دلیل تماس مستقیم با سطح بتون، در مقایسه با سایر لایه‌ها بیشترین تأثیر را از ترک‌های وارد به سطح بتون می‌پذیرد؛ بنابراین عموماً کارایی لایه‌های بعدی نسبت به لایه اول بیشتر است و افزایش ظرفیتی که در نمونه‌های دولایه مشاهده می‌شود (با توجه به میزان مصرف FRP) به‌دلیل کارایی بهتر لایه دوم می‌باشد. این موضوع بیان‌گر تأثیرات زیاد پیوستگی بتون و کامپوزیت در کاهش کارایی FRP می‌باشد و اهمیت این تحقیق را بیشتر مشخص می‌سازد.

(ب) تأثیر تعویت به صورت نوار منقطع و دورپیچ کامل: به‌منظور بررسی تأثیر پیوستگی نوارهای دورپیچ

میانی و سطح بتن بوده و در صورت نبود این فضای خالی، بتونه تأثیری در بهبود عملکرد رفتاری ستون نخواهد داشت. از طرف دیگر وجود فضای خالی و عدم حذف آن‌ها می‌تواند به عملکرد ضعیف ورق تقویتی منجر شود. از آنجا که پیش‌بینی وجود یا عدم وجود فضای خالی بین لایه‌ی میانی و سطح بتن در موارد عملی تقویت ستون‌ها غیرممکن است، لذا به‌نظر می‌رسد که به منظور اطمینان از صحت عملکرد سیستم تقویت و کاهش میزان ریسک، لازم است که در تمامی حالات در زیر لایه‌ی میانی از بتونه به‌عنوان یک ماده پرکننده استفاده شود.

(د) تأثیر عرض نوار تقویتی: برای بررسی اثر عرض نوار می‌توان به گروه‌های ۲ و ۴ از جدول (۶) مراجعه کرد. در گروه ۲ عرض نوارهای تقویتی ۵۰ میلی‌متر است و در گروه ۴ از همان مقدار FRP ولی با عرض ۲۵ میلی‌متر استفاده شده است. چنان‌چه در این جدول مشاهده می‌شود میزان افزایش مقاومت در ستون‌های محصورشده با نوارهای یک لایه‌ی ۵۰ میلی‌متری ۴۴ درصد بوده، درحالی‌که این مقدار برای نوارهای محصورشده با یک لایه‌ی نوارهای ۲۵ میلی‌متری ۵۲ درصد می‌باشد. از لحاظ میزان جذب انرژی نیز نوارهای ۲۵ میلی‌متری افزایش بیشتری را نسبت به نوارهای ۵۰ میلی‌متری نشان می‌دهند. بنابراین می‌توان کارایی ورق گالوانیزه را در نمونه‌های با عرض ورق کمتر به این صورت توجیه کرد که نوارهای با تعداد بیشتر و عرض کمتر با گستردگی بهتر خود در تمام ارتفاع ستون، باعث پخش یکنواخت‌تر انرژی در کل ارتفاع ستون می‌شوند و شرایط محصورکننده‌ی بهتری را ایجاد می‌کنند. هم‌چنین عرض کمتر ورق شرایط محصورشده‌ی را برای نواحی مرکزی ستون (محل پارگی نوارها)، بهتر فراهم می‌کند و بنابراین محصوریت بیشتر ستون

های با ورق گالوانیزه افزایش ۵۳ تا ۲۲۶ درصدی را نشان می‌دهند. برای اطمینان از عدم پیوستگی بین ورق FRP و ورق گالوانیزه و هم‌چنین اطمینان از عدم محصورسازی ستون توسط لایه‌ی میانی، در نمونه I-S.P-50.C4* از یک لایه پلاستیک نازک به ضخامت ۰/۰۲ میلی‌متر در حد فاصل بین ورق FRP و ورق گالوانیزه استفاده شده است. این لایه نازک باعث می‌شود که هیچ‌گونه چسبندگی بین ورق FRP و ورق گالوانیزه وجود نداشته باشد. همان‌گونه که از مقایسه ظرفیت باربری ستون‌های C2-S.P-50.I و C4*-S.P-50.I در جدول (۶) مشاهده می‌شود، از لحاظ کسب مقاومت، این دو نمونه مشابه هم می‌باشند، اما جذب انرژی در نمونه I-S.P-50.C4* به دلیل کاهش بیشتر تنش‌های برشی انتقالی به ورق تقویتی، بیشتر از نمونه C2-S.P-50.I می‌باشد. به عبارت دیگر به نظر می‌رسد روش‌هایی که تنش‌های انتقالی از بتن به ورق‌های دورگیرکننده تقویتی را به حداقل می‌رسانند، در افزایش شکل‌بذیری تأثیر بیشتری دارند.

لازم به ذکر است که محصورشدنگی مناسب، مستلزم عدم وجود هرگونه فاصله آزاد بین سطح بتن و عامل دورگیرکننده است. از آنجا که در نمونه‌های فشاری اتساع معمولاً در حدود ۸۰ درصد بار نهایی آغاز می‌شود، لذا به‌نظر می‌رسد کارایی بتونه نیز به‌عنوان یک ماده پرکننده به این ناحیه محدود می‌شود. وجود یک ماده پرکننده در فاصله آزاد بین سطح ستون و ورق لایه‌ی میانی می‌تواند تنش‌های شعاعی اندک ایجاد شده در نمونه تحت بارگذاری را قبل از شروع اتساع، به صورت تنش حلقوی به ورق تقویتی منتقل نماید. با توجه به عدم وجود هرگونه نقش سازه‌ای بتونه در افزایش ظرفیت باربری می‌توان گفت تأثیر بتونه فقط منحصر به وجود فاصله‌های آزاد بین لایه

و تأثیر فضای خالی بین سطح بتن و لایه میانی، به بررسی اثر تعداد لایه‌های تقویتی و اثر عرض نوار پرداخته شده است.

مهم‌ترین نتایج به دست آمده از آزمایش نمونه‌های موجود در این تحقیق به شرح زیر می‌باشد:

۱. استفاده از ورق گالوانیزه به عنوان لایه میانی، مانع از انتقال تمرکز تنش و همچنین تنش‌های چندمحوره به ورق تقویت‌شده و باعث افزایش ۱۶ درصدی بار حداکثر و ۵۳ درصدی میزان جذب انرژی در نمونه‌های تقویت شده با یک لایه الیاف کربن نسبت به نمونه بدون لایه میانی می‌شود.

۲. استفاده از لایه میانی رفتار ستون را از حالت کرنش-نرمی به حالت کرنش-سختی تغییر می‌دهد. در واقع با استفاده از تکنیک جدید می‌توان حالت محصورشدنگی ضعیف سطون را به حالت محصورشدنگی مؤثر تبدیل نمود. استفاده از لایه میانی باعث می‌شود که بخش دوم منحنی بار-کرنش محوری ستون‌های محصور شده کشیده‌تر شود، که به معنای جذب انرژی بیشتر نمونه است.

۳. وجود فاصله آزاد بین سطح بتن و لایه میانی به شدت بر کارایی لایه میانی تأثیرگذارد. استفاده از یک لایه بتونه در زیر لایه میانی از فعال شدن دیر هنگام ورق تقویتی ممانعت می‌کند.

۴. کاهش عرض نوارهای تقویتی از ۵۰ میلی‌متر به ۲۵ میلی‌متر، به دلیل پخش یکنواخت‌تر انرژی در ارتفاع ستون، باعث افزایش ۸ درصدی بار حداکثر و ۱۴۰ درصدی جذب انرژی در نمونه‌های تقویت شده با نوارهای یک‌لایه می‌شود.

موجب ظرفیت برابری بیشتر ستون می‌شود. برای نمونه‌های دولایه، با مقایسه ستون‌های C3-S.P و C4-S.P-25.II، مشاهده می‌شود که عرض نوار تأثیر خاصی در میزان مقاومت و جذب انرژی ندارد. بنابراین می‌توان گفت ستون‌های با محصورشدنگی بالاتر (دولایه) به دلیل سختی محوری بیشتر، برای رسیدن به پخش یکنواخت‌تر انرژی در ارتفاع خود، نیاز به عرض‌های بسیار کمتر از ۲۵ میلی‌متر دارند.

نتیجه‌گیری

در این تحقیق آزمایشگاهی با استفاده از یک لایه میانی در حد فاصل سطح ستون و عامل محصورکننده، ضمن استفاده بهتر از ظرفیت ورق تقویتی، شکل‌پذیری و میزان برابری ستون افزایش داده شده است. به منظور بررسی اهداف تحقیق، ۱۴ عدد ستون بتن آرمه به قطر ۱۵۰ و ارتفاع ۵۰۰ میلی‌متر پس از تقویت و محصورسازی با نوارهای منقطع CFRP، به روش‌های مختلف، تحت بار محوری فشاری مورد آزمایش قرار گرفت. به منظور جلوگیری از انتقال تمرکز تنش ناشی از ترک خوردنگی ستون و همچنین کاهش تنش‌های برشی وارد به ورق تقویتی، در بعضی از نمونه‌ها از ورق گالوانیزه به عنوان لایه میانی استفاده شده است. همچنین از آن جا که ممکن است به دلیل اعوجاج سطح ستون یا ورق لایه میانی، مقداری فضای خالی و فاصله آزاد بین سطح ستون و لایه میانی وجود داشته باشد که باعث تأخیر در فعال شدن ورق تقویتی شود، از یک لایه بتونه، به عنوان ماده‌ی پر کننده این فضاهای استفاده شده است. در این تحقیق علاوه بر بررسی اثرات لایه میانی

مراجع

1. Samaan, M., Mirmiran, A., and Shahawy, M., "Model of Concrete Confined By Fiber Composites", *Journal of Structural Engineering*, Vol. 124, pp. 1025-1031, (1998).
2. Structures, C., "ACI Committee 440", American Concrete Institute, ACI, Vol., (2008).
3. No, D.M., "ISIS CANADA RESEARCH NETWORK", (2007).

4. Parretti, R., and Nanni, A., "Axial Testing of Concrete Columns Confined with Carbon FRP: Effect of Fiber Orientation", *Proceedings. CD Proc. of the third international conference on composites in infrastructure*, (2002).
5. Chaallal, O., Shahawy, M., and Hassan, M., "Performance of Axially Loaded Short Rectangular Columns Strengthened with Carbon Fiber-Reinforced Polymer Wrapping", *Journal of Composites for Construction*, Vol. 7, pp. 200-208, (2003).
6. Theriault, M., Neale, K.W., and Claude, S., "Fiber-Reinforced Polymer-Confining Circular Concrete Columns: Investigation of Size and Slenderness Effects", *Journal of Composites for Construction*, Vol. 8, pp. 323-331, (2004).
7. Matthys, S., Toutanji, H., and Taeerwe, L., "Stress-Strain Behavior of Large-Scale Circular Columns Confined with FRP Composites", *Journal of Structural Engineering*, Vol. 132, pp. 123-133, (2006).
8. Al-Salloum, Y.A., "Influence of Edge Sharpness on the Strength of Square Concrete Columns Confined with FRP Composite Laminates", *Composites Part B: Engineering*, Vol. 38, pp. 640-650, (2007).
9. Hadi, M., "Behaviour of FRP Wrapped Normal Strength Concrete Columns Under Eccentric Loading", *Composite structures*, Vol. 72, pp. 503-511, (2006).
10. Yang, X., Nanni, A., and Chen, G., "Effect of Corner Radius on the Performance of Externally Bonded FRP Reinforcement", *Proceedings. 5th international conference on Non-Metallic Reinforcement for Concrete Structures*, (2001).
11. Yang, X., Wei, J., Nanni, A., and Dharani, L.R., "Shape Effect on the Performance of Carbon Fiber Reinforced Polymer Wraps", *Journal of Composites for Construction*, Vol. 8, pp. 444-451, (2004).
12. Toutanji, H., "Stress-Strain Characteristics of Concrete Columns Externally Confined with Advanced Fiber Composite Sheets", *ACI Materials Journal*, Vol. 96, (1999).
13. Xiao, Y., and Wu, H., "Compressive Behavior of Concrete Confined by Carbon Fiber Composite Jackets", *Journal of Materials in Civil Engineering*, Vol. 12, pp. 139-146, (2000).
14. Lam ,L., and Teng, J., "Ultimate Condition of Fiber Reinforced Polymer-Confining Concrete", *Journal of Composites for Construction*, Vol. 8, pp. 539-548, (2004).
15. Cole, C.B., "Performance of FRP-Jacketed Reinforced Concrete Columns Subjected to Uniaxial Compression", Master of Science in Civil Engineering, University of Missouri-Rolla, Rolla, MO, (2001).
16. De Lorenzis, L., and Tepfers, R., "Comparative Study of Models on Confinement of Concrete Cylinders with Fiber-Reinforced Polymer Composites", *Journal of Composites for Construction*, Vol. 7, pp. 219-237, (2003).
17. Pessiki, S ,Harries, K.A., Kestner, J.T., Sause, R., and Ricles, J.M., "Axial Behavior of Reinforced

- Concrete Columns Confined with FRP Jackets", *Journal of Composites for Construction*, Vol. 5, pp. 237-245, (2001).
18. Shahawy, M., Mirmiran, A., and Beitelman, T., "Tests and Modeling of Carbon-Wrapped Concrete Columns", *Composites Part B: Engineering*, Vol. 31, pp. 471-480, (2000).
19. Matthys, S., Taerwe, L., and Audenaert, K., "Tests on Axially Loaded Concrete Columns Confined by Fiber Reinforced Polymer Sheet Wrapping", *ACI Special Publication*, Vol. 188, (1999).
20. Fraldi, M., Nunziante, L., Carannante, F., Prota, A., Manfredi, G., and Cosenza, E., "On the Prediction of the Collapse Load of Circular Concrete Columns Confined by FRP", *Engineering Structures*, Vol. 30, pp. 3247-3264, (2008).
21. Fam, A.Z., and Rizkalla, S.H., "Confinement Model for Axially Loaded Concrete Confined by Circular Fiber-Reinforced Polymer Tubes", *ACI structural journal*, Vol. 98,(2001).
22. Harries, K.A., and Carey, S.A., "Shape and "Gap" Effects on the Behavior of Variably Confined Concrete", *Cement and Concrete Research*, Vol. 33, pp. 881-890, (2003).
23. Campione, G., "Influence of FRP Wrapping Techniques on the Compressive Behavior of Concrete Prisms", *Cement and concrete composites*, Vol .28 ,pp. 497-505, (2006).
۲۴. ایلیا، الهه، «بررسی رفتار محوری ستون های محوری چهار گوش تقویت شده با نوارهای FRP در گوشها و بسته های FRP در وجوده»، پایان نامه کارشناسی ارشد، دانشکده عمران دانشگاه صنعتی اصفهان. (۱۳۹۱)
25. Mirmiran, A., Shahawy ,M., Samaan, M., Echary, H.E., Mastrapa, J.C., and Pico, O., "Effect of Column Parameters on FRP-Confining Concrete", *Journal of Composites for Construction*, Vol. 2, pp. 175-185, (1998).
26. Rousakis, T. C., Karabinis, A. I., Kiouisis, P. D., "FRP-Confining Concrete Members: Axial Compression Experiments and Plasticity Modeling". *Engineering Structures*, Vol. 29, No. 7, pp. 1343–1353, (2007).
27. Piekarczyk, J., Piekarczyk, W., Blazewicz, S., "Compression Strength of Concrete Cylinders Reinforced with Carbon fiber Laminate", *Construction and Building Materials*, Vol. 25, pp. 2365-2369, (2011).